

ИЗГИБ КРУГОВОЙ ПЯТИСЛОЙНОЙ ПЛАСТИНЫ**Салицкий В. С.***Белорусский государственный университет транспорта*

Рассмотрен изгиб круговой симметричной по толщине пятислойной пластины под действием равномерно распределенной нагрузки. Принимается, что для тонких несущих слоев выполняются кинематические гипотезы Кирхгофа. Сравнительно толстый наполнитель деформируется в соответствии с гипотезой Тимошенко о прямолинейности и несжимаемости деформированной нормали. Уравнения равновесия получены с помощью вариационного метода Лагранжа. Учтена работа тангенциальных напряжений в наполнителе. Получено аналитическое решение краевой задачи и проведена его численная апробация.

Введение. В последнее время значительно возрос спрос на использование слоистых тонкостенных элементов конструкций в авиа-, ракето-, машиностроении и строительстве. Это обуславливает необходимость разработки математических моделей и методов их расчета на различные виды и типы нагрузок.

Методы расчета и постановки краевых задач для расчета слоистых элементов конструкций приведены в монографиях [1–4]. В статьях [5–7] рассмотрены задачи динамики слоистых оболочек. В работах [8–11] содержатся результаты исследования колебаний неоднородных балок и круговых трехслойных пластин. Публикации [12; 13] посвящены деформированию трехслойных круговых пластин со сжимаемым наполнителем, или связанных с упругим основанием Пастернака [14; 15]. Неосесимметричное растяжение-сжатие трехслойных пластин рассмотрено в [16; 17]. Изгиб трехслойных пластин и стержней в тепловом потоках исследован в статьях [18; 19]. Постановка краевой задачи о динамическом деформировании пятислойной круговой пластины приведена в [20]. Уравнения равновесия круговой пятислойной пластины в усилиях получены в [21]. Здесь рассмотрен изгиб защемленной по контуру упругой симметричной по толщине круговой пятислойной пластины с жесткими наполнителями.

1. Постановка и решение задачи.

Рассматривается симметричная по толщине пятислойная круговая пластина (рисунк 1). Постановка задачи и ее решение проведены в цилиндрической системе координат, которая связана со срединной плоскостью центрального несущего слоя. В тонких внутреннем и внешних несущих слоях (1, 2, 4) справедливы гипотезы Кирхгофа: нормаль остается несжимаемой, прямолинейной и перпендикулярной к деформированной срединной поверхности слоев. В жестких несжимаемых по толщине наполнителях (3, 5), воспринимающих нагрузку в тангенциальном направлении, нормаль остается прямолинейной, не изменяет своей длины и поворачивается на некоторый дополнительный угол $\psi(r)$.

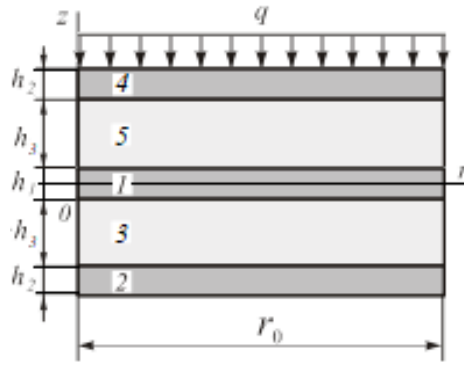


Рис. 1. Расчетная схема

На внешний слой пластины действует осесимметричная равномерно распределенная поперечная нагрузка q . На контуре пластины ($r = r_0$) предполагается наличие жесткой диафрагмы, препятствующей относительному сдвигу слоев ($\psi(r_0) = 0$). Через $w(r)$ обозначен прогиб пластины, h_k – толщина k -го слоя. Продольные и поперечные перемещения в слоях $u^{(k)}(r, z)$ и выражаются через две искомые функции: $w(r)$ – прогиб пластины и $\psi(r)$ – относительный сдвиг в заполнителях. В результате

– в несущих слоях 1, 2, 4

$$\begin{aligned} u_r^{(4)} &= -zw_{,r} + h_3\psi, & 0,5h_1 + h_3 \leq z \leq 0,5h_1 + h_3 + h_2, \\ u_r^{(1)} &= -zw_{,r}, & -0,5h_1 \leq z \leq 0,5h_1, \\ u_r^{(2)} &= -zw_{,r} - h_3\psi, & -0,5h_1 - h_3 - h_2 \leq z \leq -0,5h_1 - h_3, \end{aligned}$$

– в заполнителях – 3, 5

$$\begin{aligned} u_r^{(5)} &= -zw_{,r} + (z - 0,5h_1)\psi, & 0,5h_1 \leq z \leq 0,5h_1 + h_3, \\ u_r^{(3)} &= -zw_{,r} + (z + 0,5h_1)\psi, & -0,5h_1 - h_3 \leq z \leq -0,5h_1. \end{aligned} \quad (1)$$

где z – координата рассматриваемого волокна; запятая в нижнем индексе обозначает операцию дифференцирования по следующей за ней координате.

Деформации в слоях следуют из перемещений (1) и соотношений Коши:

$$\begin{aligned} \varepsilon_r^{(4)} &= -zw_{,rr} + h_3\psi_{,r}; & \varepsilon_\varphi^{(4)} &= \frac{1}{r}(-zw_{,r} + h_3\psi); & \varepsilon_{rz}^{(4)} &= 0; \\ \varepsilon_r^{(5)} &= -zw_{,rr} + (z - 0,5h_1)\psi_{,r}; & \varepsilon_\varphi^{(5)} &= \frac{1}{r}(-zw_{,r} + (z - 0,5h_1)\psi); & \varepsilon_{rz}^{(5)} &= \frac{1}{2}\psi; \\ \varepsilon_r^{(1)} &= -zw_{,rr}; & \varepsilon_\varphi^{(1)} &= \frac{1}{r}(-zw_{,r}); & \varepsilon_{rz}^{(1)} &= 0; \\ \varepsilon_r^{(3)} &= -zw_{,rr} + (z + 0,5h_1)\psi_{,r}; & \varepsilon_\varphi^{(3)} &= \frac{1}{r}(-zw_{,r} + (z + 0,5h_1)\psi); & \varepsilon_{rz}^{(3)} &= \frac{1}{2}\psi, \\ \varepsilon_r^{(2)} &= -zw_{,rr} - h_3\psi_{,r}; & \varepsilon_\varphi^{(2)} &= \frac{1}{r}(-zw_{,r} - h_3\psi), & \varepsilon_{rz}^{(2)} &= 0. \end{aligned} \quad (2)$$

Напряжения связаны с деформациями законом Гука

$$s_{\alpha}^{(k)} = 2G_k \vartheta_{\alpha}^{(k)}, \quad \sigma^{(k)} = 3K_k \varepsilon^{(k)}, \quad s_{rz}^{(3)} = 2G_3 \vartheta_{rz}^{(3)}, \quad (3)$$

где $s_{\alpha}^{(k)}, \vartheta_{\alpha}^{(k)}$ – девиаторы, $\sigma^{(k)}, \varepsilon^{(k)}$ – шаровые части тензоров напряжений и деформаций; $s_{rz}^{(3)}, \vartheta_{rz}^{(3)}$ – касательное напряжение и деформация в заполнителе; G_k, K_k – модули сдвига и объемной деформации материала k -го слоя, причем $G_1 = G_2, K_1 = K_2$.

С помощью компонентов тензора напряжений $\sigma_{\alpha}^{(k)}$ ($\alpha = r, \varphi; k = 1, 2, 3, 4, 5$), вводятся обобщенные внутренние усилия и моменты:

$$\begin{aligned} T_{\alpha} =, M_{\alpha} &= \sum_{k=1}^5 M_{\alpha}^{(k)} = \sum_{k=1}^5 \int_{h_k} \sigma_{\alpha}^{(k)} z \, dz, \\ H_{\alpha} &= (M_{\alpha}^{(3)} + M_{\alpha}^{(5)}) + h_3 (T_{\alpha}^{(4)} - T_{\alpha}^{(2)}) + 0,5h_1 (T_{\alpha}^{(3)} - T_{\alpha}^{(5)}), \\ Q &= \int_{0,5h_1}^{0,5h_1+h_3} \sigma_{rz}^{(3)} \, dz + \int_{-0,5h_1}^{-0,5h_1-h_3} \sigma_{rz}^{(5)} \, dz. \end{aligned} \quad (4)$$

Считается, что к контуру пластины приложены заданные силы и моменты T_r^0, H_r^0, M_r^0, Q^0 . Вариация работы внешней поверхности нагрузки будет

$$\delta A_1 = \iint_S q \delta w r \, dr \, d\varphi. \quad (5)$$

Виртуальная работа контурных усилий

$$\delta A_2 = \int_0^{2\pi} (T_r^0 \delta u + H_r^0 \delta \psi + M_r^0 \delta w_{,r} + Q^0 \delta w) \, d\varphi. \quad (6)$$

Вариация работы сил упругости

$$\delta W = \iint_S \left[\sum_{k=1}^5 \int_{h_k} (\sigma_r^{(k)} \delta \varepsilon_r^{(k)} + \sigma_{\varphi}^{(k)} \delta \varepsilon_{\varphi}^{(k)}) \, dz + \int_{0,5h_1}^{0,5h_1+h_3} \sigma_{rz}^{(3)} \delta \psi \, dz + \int_{-0,5h_1}^{-0,5h_1-h_3} \sigma_{rz}^{(5)} \delta \psi \, dz + \right] r \, dr \, d\varphi. \quad (7)$$

Проведя необходимые преобразования и приравнявая виртуальную работу внутренних усилий (7) к работе внешних и контурных нагрузок (5), (6) получим систему дифференциальных уравнений равновесия в усилиях [21]:

$$H_{r,r} + \frac{1}{r} (H_r - H_{\varphi}) - Q = 0,$$

$$M_{r,rr} + \frac{1}{r} (2M_{r,r} - M_{\varphi,r}) = -q. \quad (8)$$

На контуре пластины $r = r_0$ должны выполняться силовые граничные условия

$$H_r = H_r^0; M_r = M_r^0; M_{r,rr} + \frac{1}{r}(M_r - M_\varphi) = Q^0. \quad (9)$$

Используя закон Гука (3), деформации (2) и соотношения (4), получим выражение обобщенных усилий через две неизвестные функции: $w(r, t)$, $\psi(r, t)$. После подстановки полученных выражений в уравнения (8) имеем систему обыкновенных дифференциальных уравнений равновесия для определения перемещений $w(r)$ и $\psi(r)$:

$$\begin{aligned} L_2(a_4\psi - a_5w_{,r}) - 2h_3G_3\psi &= 0, \\ L_3(a_5\psi - a_6w_{,r}) &= -q, \end{aligned} \quad (10)$$

где, коэффициенты a_i вычисляются через механические и геометрические характеристики слоев

$$\begin{aligned} a_4 &= \left[2K_2^+ h_2 h_3^2 + 2K_3^+ \frac{h_3^3}{3} \right], \quad a_5 = \left[K_2^+ h_2 h_3 (h_1 + 2h_3 + h_2) + 2K_3^+ h_3 \left(\frac{h_1 h_3}{4} + \frac{h_3^2}{3} \right) \right], \\ a_6 &= \left[2K_2^+ h_2 \left(\frac{h_1^2}{4} + \frac{h_1 h_2}{2} + h_1 h_3 + \frac{h_2^2}{3} + h_2 h_3 + h_3^2 \right) + K_1^+ \frac{h_1^3}{12} + 2K_3^+ h_3 \left(\frac{h_1^2}{4} + \frac{h_1 h_3}{2} + \frac{h_3^2}{3} \right) \right], \\ a_7 &= \left[2K_2^- h_2 \left(\frac{h_1^2}{4} + \frac{h_1 h_2}{2} + h_1 h_3 + \frac{h_2^2}{3} + h_2 h_3 + h_3^2 \right) + K_1^- \frac{h_1^3}{12} + 2K_3^- h_3 \left(\frac{h_1^2}{4} + \frac{h_1 h_3}{2} + \frac{h_3^2}{3} \right) \right]; \end{aligned}$$

L_2, L_3 – дифференциальные операторы

$$\begin{aligned} L_2(g) &\equiv \left(\frac{1}{r}(rg)_{,r} \right)_{,r} \equiv g_{,rr} + \frac{g_{,r}}{r} - \frac{g}{r^2}, \\ L_3(g) &\equiv \frac{1}{r}(rL_2(g))_{,r} \equiv g_{,rrr} + \frac{2g_{,rr}}{r} - \frac{g_{,r}}{r^2} + \frac{g}{r^3}. \end{aligned}$$

На контуре пластины должны выполняться силовые (9) или кинематические граничные условия. В дальнейшем принимаем, что контур пластины шарнирно оперт, т. е. при $r = r_0$ должны выполняться условия

$$\psi = 0, \quad w = w_{,r} = 0. \quad (11)$$

Решение краевой задачи (10, 11) получено в виде

$$\begin{aligned} \psi &= \frac{a_5 q}{4a_6 h_3 G_3} \left(\frac{I_1(\beta r)}{I_1(\beta r_0)} r_0 - r \right), \\ w &= \frac{a_5^2 q}{4a_6^2 h_3 G_3} \left(r_0 \frac{I_0(\beta r) - I_0(\beta r_0)}{\beta I_1(\beta r_0)} - \frac{r^2 - r_0^2}{2} \right) + \frac{q}{64a_6} (r^2 - r_0^2)^2, \end{aligned} \quad (12)$$

где I_0, I_1 – модифицированные функции Бесселя нулевого и первого порядков.

2 Численные результаты. Численно исследован максимальный прогиб (12) в заземленной по контуру пятислойной пластине, несущие слои которой набраны из дюралюминия, заполнители – фторопласт-4. Упругие характеристики этих материалов приведены в [1]. Величина нагрузки – $q_0 = 10$ МПа, Геометрические параметры пластины и радиальная координата отнесены к ее радиусу r_0 .

На рисунке 2 показана зависимость максимального прогиба от толщины внутреннего несущего слоя при различных значениях суммарной толщины несущих слоев $H = h_1 + h_2 + h_4$: 1 $H = 0,03$; 2 – $H = 0,06$; 3 – $H = 0,09$. толщина заполнителей постоянна $h_3 = h_4 = 0,2$. Увеличение толщины центрального несущего слоя за счет внешних слоев приводит сначала к некоторому росту прогиба, т. е. увеличению жесткости конструкции. Затем жесткость и, соответственно прогиб уменьшаются

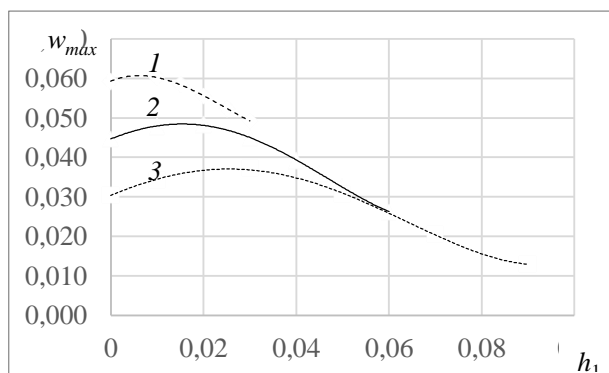


Рис. 2. Максимальный прогиб в центре пятислойной пластины

Выводы. Механико-математическая модель изгиба пятислойной упругой пластины и предложенное аналитическое решение краевой задачи позволяют исследовать ее перемещения не только при постоянной, но и при любой осесимметричной нагрузке.

ЛИТЕРАТУРА

1. Горшков, А. Г. Механика слоистых вязкоупругопластических элементов конструкций / А. Г. Горшков, Э. И. Старовойтов, А. В. Яровая – М. : ФИЗМАТЛИТ, 2005. – 576 с.
2. Aghalovyan L. Asymptotic theory of anisotropic plates and shells / L. Aghalovyan – Singapore–London : World Scientific Publishing, 2015. – 376 p.
3. Журавков, М. А. Математические модели механики твердого тела // М. А. Журавков Э. И. Старовойтов – Минск : БГУ, 2021 – 535 с.
4. Старовойтов Э. И. Деформирование трехслойных физически нелинейных стержней / Э. И. Старовойтов, Д. В. Леоненко, Л. Н. Рабинский. – М. : Изд-во МАИ, 2016. – 184 с.
5. Pronina, P. F. Study of the radiation situation in Moscow by investigating elastoplastic bodies in a neutron flux taking into account thermal effects / P. F. Pronina, O. V. Tushavina, E. I. Starovoitov // Periódico Tchê Química. – 2020. – Vol. 17, No. 35. – P. 753–764.
6. Tarlakovskii D. V. Two-Dimensional Nonstationary Contact of Elastic Cylindrical or Spherical Shells / D. V. Tarlakovskii, G. V. Fedotenkov // Journal of Machinery Manufacture and Reliability. – 2014. – Vol. 43, No. 2. – P. 145–152.
7. Kuznetsova E. L. Methods of diagnostic of pipe mechanical damage using functional analysis, neural networks and method of finite elements / E. L. Kuznetsova, G. V. Fedotenkov, E. I. Starovoitov // INCAS Bulletin. – Volume 12, Special Issue. – 2020. – P. 79–90.

8. Fedotenkov G. V. Identification of non-stationary load upon Timoshenko beam / G. V. Fedotenkov, D. V. Tarlakovsky, Y. A. Vahterova // Lobachevskii journal of mathematics. – 2019. – Vol. 40 № 4. – P. 439–447.
9. Vakhneev, S. Damping of circular composite viscoelastic plate vibration under neutron irradiation / S. Vakhneev, E. Starovoitov // Journal of Applied Engineering Science. – 2020. – Vol. 18, No 4. – P. 699–704.
10. Starovoitov, É. I. Vibrations of round three-layer plates under the action of distributed local loads / É. I. Starovoitov, D. V. Leonenko, A. V. Yarovaya // Strength of materials. – 2002. – Vol. 34, No. 5. – P. 474–481.
11. Старовойтов Э. И. Термоупругие свободные колебания трехслойной круговой пластины / Э. И. Старовойтов М. А. Журавков А. В. Яровая // Теоретическая и прикладная механика. – Мн. : БНТУ. – 2022. – Вып. 36. – С. 15–20.
12. Захарчук, Ю. В. Перемещения в круговой трехслойной пластине со сжимаемым наполнителем / Ю. В. Захарчук // Механика. Исследования и инновации. – 2017. – № 10 (10). – С. 55–66.
13. Захарчук Ю. В. Влияние сжимаемости наполнителя на перемещения в трехслойной круговой симметричной пластине / Ю. В. Захарчук // Математическое моделирование, компьютерный и натурный эксперимент в естественных науках. – 2018. – № 2. – С. 14–27.
14. Козел А. Г. Уравнения равновесия упругопластической круговой пластины на основании пастернака / А. Г. Козел // Механика. Исследования и инновации. – 2018. – № 11 (11). – С. 127–133.
15. Козел А. Г. Влияние сдвиговой жесткости основания на напряженное состояние сэндвич пластины / А. Г. Козел // Фундаментальные и прикладные проблемы техники и технологии. – 2018 – № 6 (332). – С. 25–34.
16. Нестерович А. В. Напряжения в круговой пластине типа Тимошенко при несимметричном растяжении-сжатии / А. В. Нестерович // Механика. Исследования и инновации. – 2018. – № 11 (11). – С. 195–203.
17. Нестерович А. В. Напряженное состояние круговой трехслойной пластины при осесимметричном нагружении в своей плоскости / А. В. Нестерович // Механика. Исследования и инновации. – 2019. – № 12 (12). – С. 152–157.
18. Деформирование ступенчатой композитной балки в температурном поле / Э. И. Старовойтов [и др.] // Инженерно-физический журнал. – 2015. – Т. 88, № 4. – С. 987–993.
19. Старовойтов, Э. И. Изгиб с растяжением трехслойного термоупругого стержня / Э. И. Старовойтов, А. В. Попченко, Д. В. Тарлаковский // Теоретическая и прикладная механика. – Мн. : БНТУ, 2013. – Вып. 28. – С. 23–26.
20. Лачугина Е. А. Поперечные колебания пятислойной упругой круговой пластины с жесткими наполнителями / Е. А. Лачугина // Механика. Исследования и инновации. – 2022. – № 15 (15). – С. 212–219.
21. Салицкий В. С. Уравнения равновесия круговой пятислойной пластины в усилиях / В. С. Салицкий // Мат. XXVII Междунар. симпозиума «Динамические и технологические проблемы механики конструкций и сплошных сред» им. А. Г. Горшкова. – 2021. – Т. 1. – С. 199–201.

Поступила: 25.05.2023